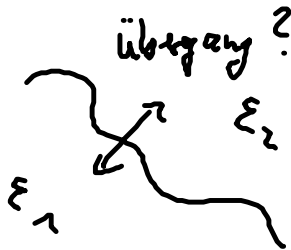


# 9. Grenzbedingungen f. makroskopische Felder und Randwertprobleme

Makroskopische Maxwellgl.  $\rightarrow$  kontinuierliche verteilte Materie,  
z.B. mit verschiedenen dielektrischen Konstanten  
(siehe letzte VL)

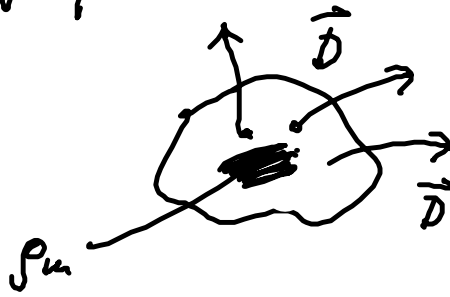


Wie verhalten sich Felder am Übergang / Grenze von Medien?  
Kenntnisse können helfen bei Lösung v. Problemen, bei  
denen Felder „aneinander angepaßt“ werden müssen.

## 9.1. Integraldarstellg. Maxwellgl. + Faradaygesetz

a)  $\vec{\nabla} \cdot \vec{D} = \rho_m$  über ein Volumen  $V$  integrieren, Oberfläche  $\partial V$   
 Satz v. Gauß:

$$\oint_{\partial V} d\vec{A} \cdot \vec{D} = Q_m$$



geschl. Oberfläche integriert  
über  $\partial V$

gesamtl. Ladg.  
im Volumen  $V$

$$\int_V \rho_m(\vec{r}) = Q_m$$

→ Nettofluß d.  $\vec{D}$ -Felds ergibt  
die eingeschlossene Gesamtladg.

b)  $\vec{\nabla} \cdot \vec{B} = 0$

$$\oint_{\partial V} d\vec{A} \cdot \vec{B} = 0$$

→ Nettofluß d.  $\vec{B}$ -Felds ist Null  
(Kein magnet. Monopol)

c)  $\vec{\nabla} \times \vec{H} = \vec{j}_m + \partial_t \vec{D}$

über eine Fläche  $S$  mit einer Randkurve  $\partial S$   
 abgeleitet der Satz v. Stokes



$$\oint_{\partial S} d\vec{r} \cdot \vec{H} = \int_S d\vec{A} \cdot (\underbrace{\vec{j}_m + \partial_t \vec{D}}_{\vec{j}_{ps}}) = \underline{I} \quad \text{↑ } \partial S$$

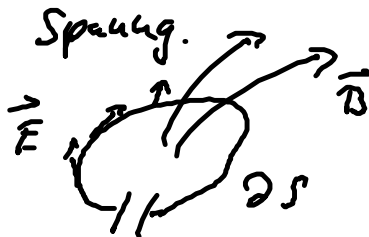
Gesamtstrom d. Oberfläche

Ampere-Maxwell-Gleichung:

→ Linienintegral  $\partial S$  über  $\vec{H}$  ergibt den Gesamtstrom  $I$ ,  
 durch die Fläche  $S$ .

d)  $\vec{\nabla} \times \vec{E} = -\partial_t \vec{B}$ , analoge Bez. zu (c)

$$\underbrace{\oint_{\partial S} d\vec{r} \cdot \vec{E}}_{\text{berechnete Spannung}} = - \underbrace{\int_S d\vec{A} \cdot \partial_t \vec{B}(\vec{r}, t)}_{\text{Lenz'sche Regel}} = - \underbrace{\frac{d}{dt} \int_{S(t)} d\vec{A} \cdot \vec{B}}_{\text{Faraday'sches Induktionsgesetz}}$$



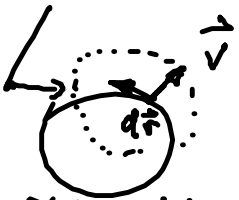
Spannung abgreifen (Litzerschleife)

„induzierte Spannung.“

Spannung entsteht d. zeitlichen Veränd. d. Magnetfelds.

$$= - \frac{d}{dt} \int_{S(t)} d\vec{A} \cdot \vec{B}(\vec{r}, t) + \frac{d}{dt} \int_{S(t)} d\vec{A} \cdot \vec{B}(\vec{r}, t)$$

Mantelfläche



$S(t)$  wird in  $dt$  bewegt

Wirk. d. Zeitabhängig.

Komplex zur zeitl. Variab. d. Fläche

$$= -\frac{d}{dt} \phi_u + \oint_S \frac{d\vec{A}}{dt} \cdot \vec{B}(\vec{r}, t)$$

$\rightarrow$  Änd. des Flusses durch die Flächenänd.  $d\phi = \Delta\phi$

$\hat{=}$  Änd. durch Mantelfläche

$$d\vec{A} = \vec{v} dt \times d\vec{r}$$

$$\frac{d\vec{A}}{dt} = \vec{v} \times d\vec{r}$$



$$= -\frac{d}{dt} \phi_u + \oint \vec{v} \times d\vec{r} \cdot \vec{B}(\vec{r})$$

$$= -\frac{d}{dt} \phi_u + \oint d\vec{r} \cdot (\vec{B} \times \vec{v})$$

$$\oint d\vec{r} \cdot (\vec{E} + \vec{v} \times \vec{B}) = -\frac{d}{dt} \phi_u$$

$\vec{E}'$  im Systr. der bewegl. Schiffe

bezugl. Schiffe

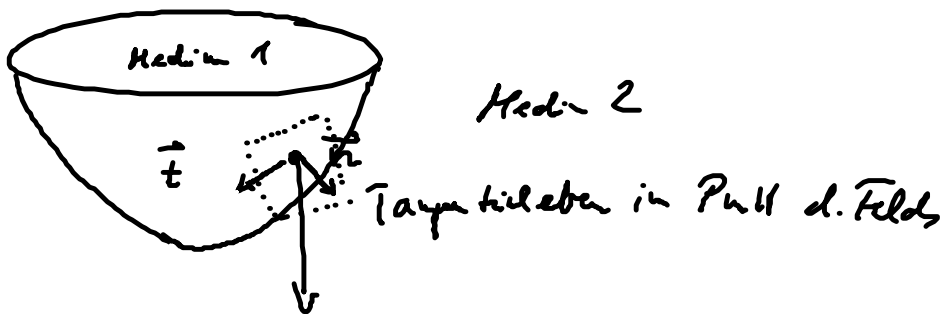
- Spannung kann durch zeitl. Änd. d.  $\vec{B}$ -Felds

und die Leiterschleife nicht zersetzt werden.

- Achse bei Def. v.  $\vec{E}$  und  $\vec{B}$  - Feldern,  
die keine v. Koordinatensystem ab!  
(mit  $\vec{v}$  bewegt oder nicht)

## 9.2. Grenzbedingungen / Stetigkeitsbeding.

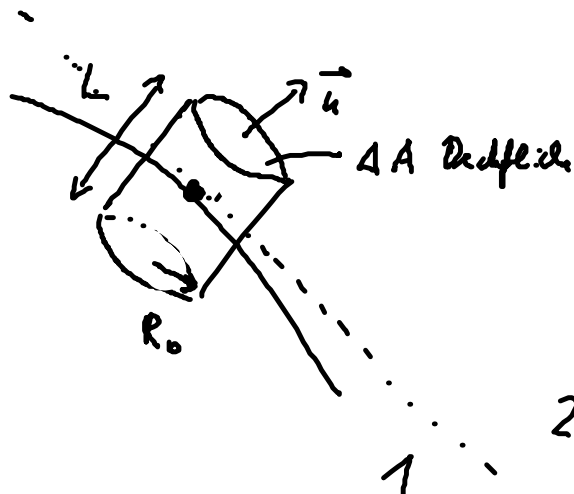
- um Lösungen von 2 verschied. Raumgebiet aneinander  
anzupassen:



Feld wird zerlegt in 2 Anteile:

Einheitsvektor  $\vec{t}$ : in der Tangentialebene

Einheitsvektor  $\vec{n}$ :  $\perp$  zu Tangentialebene



Flächenladungsdichte integral

f. a) b/

$$a) \oint d\vec{A} \cdot \vec{D}(\vec{r}) = \int d^3r \rho_{\text{en}}(\vec{r})$$

Hohlzylinder

$$2\pi R_0 L \vec{D}_t + (\vec{D}_2 \cdot \vec{u} - \vec{D}_1 \cdot \vec{u}) \Delta A = \underbrace{\Delta A \cdot L}_{\text{Volum}} \bar{\rho}$$

Hohlfläche
Deckfläche d.
Volum  
aus der
Hohlzylinder

Mittelwertsatz

$$(\vec{D}_t)$$

$$\approx f \cdot L \cdot R_0 \rightarrow 0$$

$$\underbrace{\hspace{10em}}_{=0}$$

$$=0$$

$$\Delta A = \pi R_0^2$$



$\bar{\rho}$  aus Mittelwertsatz

bei  $\rho$  endlich, sonst

nicht anwendbar



$\rightarrow 0$

$$\Rightarrow (\vec{D}_2 - \vec{D}_1) \cdot \vec{u} = 0$$

$$D_1^n - D_2^n = 0$$

$$\boxed{D_1^n = D_2^n}$$

Die Normalkomponente  
d.  $\vec{D}$ -Felds ist stetig.

$$\Delta Q = \int dV \rho_{\text{en}}(\vec{r}) \text{ wenn } L \rightarrow 0$$

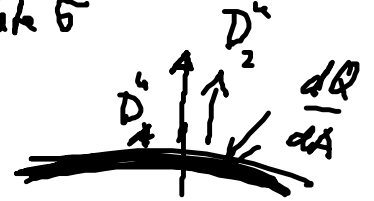
wenn  $\rho_{\text{en}}(\vec{r})$  aus Kerche " und  $\infty$  wird (ideale Metalle)

≠ 0 Mittelwertsatz nicht anwendbar

$$\left( \vec{D}_2 - \vec{D}_1 \right) \cdot \vec{n} \Delta A = \frac{\Delta Q}{\Delta A} \Delta A$$

$$= \frac{dQ}{dA} \stackrel{\text{Flächen-}}{\underset{\text{ladungsdichte } \sigma}{=}}$$

$$\boxed{D_1^{\perp} - D_2^{\perp} = \sigma}$$



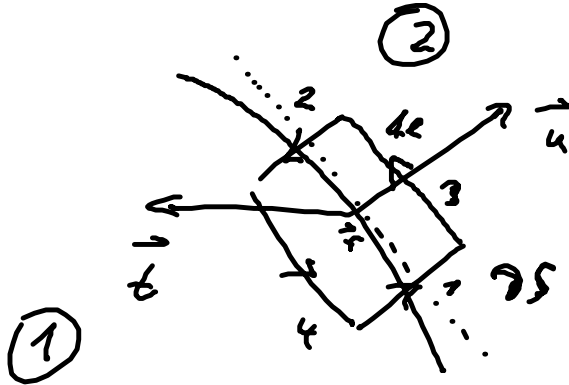
Die Normalkomponente d.  $D$ -Felds springt um die Flächladungsdichte  $\sigma(\vec{r})$ , wenn  $\rho_v(\vec{r}) \rightarrow \infty$  an der OF geht.

b) Magnetfeld:  $\vec{\nabla} \cdot \vec{B} = 0$

$$\boxed{B_1^{\perp} - B_2^{\perp} = 0}$$

Die Normalkomponente d.  $B$ -Feld ist bei Übergang zw. 2 Medien stetig.

$$c) \oint_{\partial S} d\vec{r} \cdot \vec{E}(\vec{r}) = - \int_S d\vec{A} \cdot \vec{\partial}_t \vec{B}$$



geschlossene  
Liniarintegral  
um  $\rightarrow$  Schleife

Wenn der Weg um den Punkt  $\vec{r}$  zusammengezogen wird  
so: - verschwindet die rechte Seite nach MWS

$$0 + \underbrace{\Delta l(\vec{t} \times \vec{u}) \cdot \vec{E}_2}_{\text{Weg (3+4)}} - \underbrace{\Delta l(\vec{t} \times \vec{u}) \cdot \vec{E}_1}_{\text{Weg (1+2)}} = 0$$

Weg (1+2)  
nach Mittelwertsatz

$$\Delta l \cdot \vec{t} \cdot (\vec{u} \times (\vec{E}_2 - \vec{E}_1)) = 0$$

$$\vec{u} \times (\vec{E}_2 - \vec{E}_1) = 0$$

$$\vec{u} \times \vec{E}_1 = \vec{u} \times \vec{E}_2$$

$$\vec{E}_1^t = \vec{E}_2^t$$



Die Tangentialkomponente d.  $\vec{E}$ -Felds ist stetig.

$$d) \oint d\vec{r} \cdot \vec{H} = \int_S d\vec{A} \cdot \vec{j}$$



analog

$$\Delta \cdot (\vec{t} \times \vec{u}) \cdot \vec{H}_2 - \Delta \cdot (\vec{t} \times \vec{u}) \cdot \vec{H}_1 = \begin{cases} 0 & \text{wenn } \vec{j} \text{ endlich} \\ \frac{\Delta \cdot \Delta I}{\Delta \epsilon} & \text{wenn } \vec{j} \text{ unendlich} \end{cases}$$

Linienstrichte

wenn keine  $\infty$  Stromdichten in der  
 Abfläch  $S$   $\vec{t}$  auftritt, so sieht  
 die Tangentialkomponente d.  $\vec{H}$ -Felds stetig:

$$\vec{u} \times (\vec{H}_1 - \vec{H}_2) = 0$$

$$\vec{u} \times \vec{H}_1 = \vec{u} \times \vec{H}_2$$

$$\boxed{H_1^t = H_2^t}$$

Wenn  $\vec{j}$  u.ä.  $\infty$  wird so gilt  $HWS$  nicht  
 und es heißt ein Linienstrichte  $\vec{K}$

eingeführt werden

$$\boxed{\vec{u} \times (\vec{H}_1 - \vec{H}_2) = \vec{k}}$$

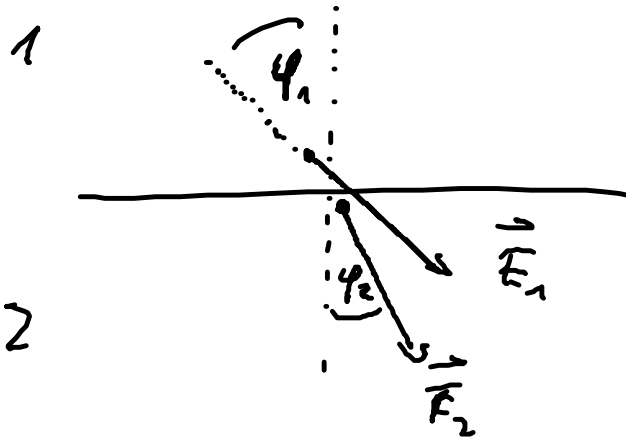
$\vec{H}_t$  springt um die Linie schon durch  $\vec{k}$ .

### 9.3. Beispiel

$i=1,2$

$$D_i = \epsilon_i \vec{E}_i$$

klassische Modell, 2 Halbräume, Dielektrika



$$D^{u1} = D^{u2} \rightarrow \epsilon_1 \vec{E}_1 \cos \varphi_1 = \epsilon_2 \vec{E}_2 \cos \varphi_2$$

$$\vec{E}^{\perp 1} = \vec{E}^{\perp 2} \rightarrow \epsilon_1 \vec{E}_1 \sin \varphi_1 = \epsilon_2 \vec{E}_2 \sin \varphi_2$$

⏟

$$\frac{\tan \varphi_1}{\tan \varphi_2} = \frac{\epsilon_1}{\epsilon_2}$$

klein Winkel



$$\varphi_1 = \varphi_2 \frac{\epsilon_1}{\epsilon_2}$$

bei Übergang v. dicht zu dünne Medien

$\epsilon_1 > \epsilon_2$  wird zum Lot hin gebrochen